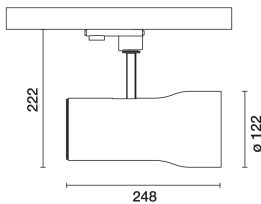


Letzte Aktualisierung der Informationen: Mai 2025

### Produktkonfiguration: 573A

573A: Strahler SIPARIO ø122 - Casambi - VeryWideFlood - OBLens -



### Produktcode

573A: Strahler SIPARIO ø122 - Casambi - VeryWideFlood - OBLens -

### Beschreibung

Ausrichtbarer Strahler ø122 mit Adapter zum Einbau an einer Anschlussdose oder Stromschiene mit Netzspannung. Led-Lichtquelle mit Technologie C.O.B (Chip on board) mit hoher Farbwiedergabe - CRI97- Farbton 3000K. Korpus aus Aluminiumdruckguss mit hinterem Verschluss und Stirnring aus Thermoplast (Mass-Balance). Das Produkt ermöglicht eine Drehung von 360° um die vertikale Achse mit mechanischer Arretierung und eine Neigung von 90° auf der horizontalen Ebene. Passive Wärmeableitung. System OptiBeam Lens mit VeryWideflood-Optik. Korpus komplett mit dimmbarer Versorgungseinheit mit Casambi-Protokoll im Inneren des Schienenadapters der Leuchte. Die verwendeten Bauteile ermöglichen die Steuerung der-Leuchten über Apps und Komponenten des Casambi-Systems, indem sie die Funktionen On-off, Dimming, Abrufe von Lichtszenarien und die Zusammenarbeit mehrerer Geräte in einem Casambi-Meshnetzwerk ermöglichen. Bluetooth-Frequenz 2,4 GHz. Die App ist im Apple Store und im Google Play Store erhältlich. Eingebauter, über App aktivierbarer Beacon (iBeacon), der intelligente Funktionen für Drittanbieter-Anwendungen und Jiminy-Pushbenachrichtigungen ermöglicht. Strahler mit Push&Go-System, für die schnelle und sichere Kopplung von Leuchte und optischem Zubehör. Die mechanische Abtrennung ermöglicht die sichere Auskopplung des Zubehörs ohne Fallgefahr. Die Verwendung von bis zu drei internen und einem externen Zubehör ist möglich. Sämtliche internen und externen Zubehörteile können um 360° im Verhältnis zur Längsachse des Strahlers gedreht werden.

### Installation

Anschlussdose oder Stromschiene mit Netzspannung.

### Farben

Weiß (01) | Matter schwarz (V0)

### Gewicht (Kg)

1.82

### Montage

Dreiphasenstromschienensystem

### Anmerkungen

Höchstabstand zwischen den Produkten 8 m

Der Höchstabstand ist auch vom Vorhandensein physischer Hindernisse wie z.B. Wänden, Metallplatten sowie vom Layout der Anlage bedingt.

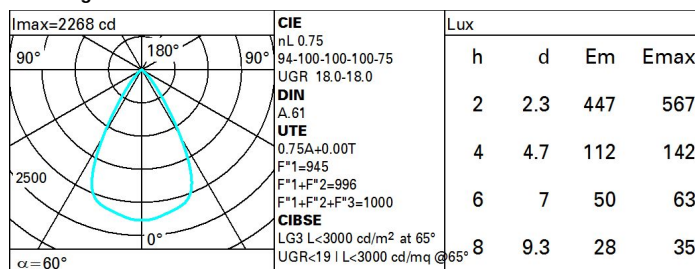
Gemäß der Normen EN60598-1 u. Sondernormen



### Technische Daten

|   |      |   |  |
|---|------|---|--|
| Im System:  | 2138 | Lebensdauer LED 1:                              | > 50,000h - L90 - B10 (Ta 25°C)  |
| W System:   | 29.8 | Lampencode:                                     | LED  |
| Im Lichtquelle:   | 2850 | Anzahl Lampen in Leuchtgehäuse:                 | 1  |
| W Lichtquelle:  | 26   | ZVEI-Code:                                      | LED  |
| Lichtausbeute (Im/W, Systemwert):                           | 71.7 | Anzahl Leuchtgehäuse:                           | 1  |
| Im im Notlichtbetrieb:                                      | -    | Leistungsfaktor:                                | Sehen Montageanleitung   |
| abgegebener Lichtstrom bei/ über einem Winkel von 90° [lm]: | 0    | Einschaltstrom:                                 | 20 A / 25 µs   |
| Leuchtenbetriebswirkungsgrad 75 (L.O.R.) [%]:               |      | maximale Anzahl Leuchten pro Sicherungsautomat: | B10A: 34 Leuchten<br>B16A: 55 Leuchten<br>C10A: 57 Leuchten<br>C16A: 93 Leuchten |
| Abstrahlwinkel [°]:   | 60°  | Minimaler Dimmwert %:                           | 1  |
| CRI (minimum):  | 97   | Überspannungsschutz:                            | 2kV Gleichtaktspannung und 1kV Gegentaktspannung                                 |
| Farbtemperatur [K]:   | 3000 | Control:  | Casambi  |
| MacAdam Step:   | 2    |   |  |

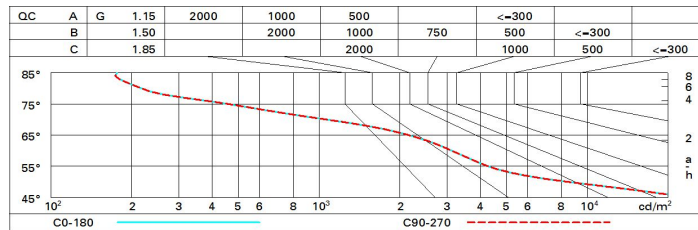
### Polardiagramm



Wirkungsgrad

|      |    |    |    |    |    |    |    |    |     |
|------|----|----|----|----|----|----|----|----|-----|
| R    | 77 | 75 | 73 | 71 | 55 | 53 | 33 | 00 | DRR |
| K0.8 | 66 | 62 | 59 | 57 | 61 | 59 | 58 | 56 | 74  |
| 1.0  | 69 | 66 | 63 | 61 | 65 | 63 | 62 | 60 | 79  |
| 1.5  | 73 | 71 | 68 | 67 | 70 | 68 | 67 | 65 | 86  |
| 2.0  | 76 | 74 | 72 | 71 | 73 | 71 | 70 | 68 | 91  |
| 2.5  | 77 | 76 | 75 | 73 | 75 | 74 | 73 | 71 | 94  |
| 3.0  | 78 | 77 | 76 | 75 | 76 | 75 | 74 | 72 | 96  |
| 4.0  | 79 | 78 | 78 | 77 | 77 | 77 | 75 | 73 | 98  |
| 5.0  | 80 | 79 | 79 | 78 | 78 | 77 | 76 | 74 | 99  |

Söllner-Diagramm



UGR-Diagramm

| Corrected UGR values (at 2850 lm bare lamp luminous flux) |      |                  |      |      |      |             |                |      |      |      |      |
|---|------|------------------|------|------|------|-------------|----------------|------|------|------|------|
| Reflect.:   |      | viewed crosswise |      |      |      |             | viewed endwise |      |      |      |      |
| ceiling/cav   |      | 0.70             | 0.70 | 0.50 | 0.50 | 0.30        | 0.70           | 0.70 | 0.50 | 0.50 | 0.30 |
| walls   |      | 0.50             | 0.30 | 0.50 | 0.30 | 0.30        | 0.50           | 0.30 | 0.50 | 0.30 | 0.30 |
| work pl.  |      | 0.20             | 0.20 | 0.20 | 0.20 | 0.20        | 0.20           | 0.20 | 0.20 | 0.20 | 0.20 |
| Room dim  |      | viewed crosswise |      |      |      |             | viewed endwise |      |      |      |      |
| x   | y    |                  |      |      |      |             |                |      |      |      |      |
| 2H  | 2H   | 18.0             | 19.2 | 18.9 | 19.5 | 19.7        | 18.0           | 19.2 | 18.9 | 19.5 | 19.7 |
|   | 3H   | 18.4             | 19.1 | 18.8 | 19.3 | 19.6        | 18.4           | 19.1 | 18.8 | 19.3 | 19.6 |
|   | 4H   | 18.4             | 18.9 | 18.7 | 19.2 | 19.5        | 18.4           | 18.9 | 18.7 | 19.2 | 19.5 |
|   | 6H   | 18.3             | 18.8 | 18.6 | 19.1 | 19.5        | 18.3           | 18.8 | 18.6 | 19.1 | 19.5 |
|   | 8H   | 18.3             | 18.8 | 18.6 | 19.1 | 19.4        | 18.3           | 18.8 | 18.6 | 19.1 | 19.4 |
|   | 12H  | 18.2             | 18.7 | 18.6 | 19.0 | 19.4        | 18.2           | 18.7 | 18.6 | 19.0 | 19.4 |
| 4H  | 2H   | 18.4             | 18.9 | 18.7 | 19.2 | 19.5        | 18.4           | 18.9 | 18.7 | 19.2 | 19.5 |
|   | 3H   | 18.2             | 18.7 | 18.6 | 19.1 | 19.4        | 18.2           | 18.7 | 18.6 | 19.1 | 19.4 |
|   | 4H   | 18.1             | 18.6 | 18.6 | 18.9 | 19.3        | 18.1           | 18.6 | 18.6 | 18.9 | 19.3 |
|   | 6H   | 18.1             | 18.4 | 18.5 | 18.8 | 19.2        | 18.1           | 18.4 | 18.5 | 18.8 | 19.2 |
|   | 8H   | 18.0             | 18.4 | 18.5 | 18.8 | 19.2        | 18.0           | 18.4 | 18.5 | 18.8 | 19.2 |
|   | 12H  | 18.0             | 18.3 | 18.4 | 18.7 | 19.2        | 18.0           | 18.3 | 18.4 | 18.7 | 19.2 |
| 8H  | 4H   | 18.0             | 18.4 | 18.5 | 18.8 | 19.2        | 18.0           | 18.4 | 18.5 | 18.8 | 19.2 |
|   | 6H   | 17.9             | 18.2 | 18.4 | 18.7 | 19.1        | 17.9           | 18.2 | 18.4 | 18.7 | 19.1 |
|   | 8H   | 17.9             | 18.1 | 18.4 | 18.6 | 19.1        | 17.9           | 18.1 | 18.4 | 18.6 | 19.1 |
|   | 12H  | 17.8             | 18.0 | 18.3 | 18.5 | 19.0        | 17.8           | 18.0 | 18.3 | 18.5 | 19.0 |
| 12H   | 4H   | 18.0             | 18.3 | 18.4 | 18.7 | 19.2        | 18.0           | 18.3 | 18.4 | 18.7 | 19.2 |
|   | 6H   | 17.9             | 18.1 | 18.4 | 18.6 | 19.1        | 17.9           | 18.1 | 18.4 | 18.6 | 19.1 |
|   | 8H   | 17.8             | 18.0 | 18.3 | 18.5 | 19.0        | 17.8           | 18.0 | 18.3 | 18.5 | 19.0 |
| Variations with the observer position at spacing:         |      |                  |      |      |      |             |                |      |      |      |      |
| S =   | 1.0H | 4.6 / -10.7      |      |      |      | 4.6 / -10.7 |                |      |      |      |      |
|   | 1.5H | 7.3 / -12.7      |      |      |      | 7.3 / -12.7 |                |      |      |      |      |
|   | 2.0H | 9.3 / -15.4      |      |      |      | 9.3 / -15.4 |                |      |      |      |      |